

UDC 543.432.6 : 546.26 : 546.623-31 : 669.14 : 620.192.45

## 論文

## 鉄鋼の発光分光分析における非金属介在物の影響\*

遠藤 芳秀\*\*・杉原 孝志\*\*\*・松村 泰治\*\*\*

## Influences of Non-metallic Inclusions on Emission Spectrometric Analysis of Steels

Yoshihide ENDO, Takashi SUGIHARA, and Yasuharu MATSUMURA

## Synopsis:

On emission spectrometric analysis of steels, the behavior of non-metallic inclusions was investigated. The spectrum intensity of determinable elements was influenced in complicated manners by inclusions. Experiments were carried out concerning the considerable influence of  $\text{Al}_2\text{O}_3$  inclusions on C and additionally those of  $\text{SiO}_2$  on C and  $\text{Al}_2\text{O}_3$  on P as similar pattern.

Obtained results were following:

- 1) The influence of Al on C was caused not by contents of Al on composition of inclusions themselves, but by existing condition of  $\text{Al}_2\text{O}_3$  inclusions.
- 2) The influence of inclusions was attributable to the abnormal emission caused by preferential discharges, and similar behavior was also shown on  $\text{SiO}_2$  inclusions to C and  $\text{Al}_2\text{O}_3$  inclusions to P.
- 3) Because of influence of inclusions mentioned above, calibration curves could not be unified and the influences might not be reduced without the classification of calibration curves.

## 1. 緒 言

鉄鋼の発光分光分析法において、非金属介在物はその化合形態により目的元素の発光強度に複雑な影響を与えることが多い<sup>1,2)</sup>。しかもそれは近接線の重なりあるいは既に報告した相乗干渉<sup>3)</sup>とは異なる現象である。このような影響は発光分光分析法における標準化を複雑なものとし、かつ検量線の一元化を阻害する要因の一つである。

非金属介在物の影響およびその原因については既に萩原ら<sup>4)</sup>による研究があり、これによると介在物周辺への優先放電に起因する異常発光が目的元素の発光強度を増加させるもので、この影響は予備放電時間の増加により軽減できるとしている。しかしながらこの報告では介在物の影響を一般的に概括するにとどまつており、特定の介在物が特定の元素に与える影響についてまでは言及されていない。

著者らは溶鋼試料を発光分光分析法で定量するとき、Alで鎮静された試料と、そうでない試料とでは目的元

素の発光強度が異なる場合があることに着眼し、特に影響量の大きい、Cに対する $\text{Al}_2\text{O}_3$ 介在物の挙動について考察した。さらにこれから類推できるCに対する $\text{SiO}_2$ 介在物の影響およびPに対する $\text{Al}_2\text{O}_3$ 介在物の影響についても調べた。

## 2. 実験方法

## 2.1 装置

発光分光分析装置は島津製作所製で、LVS-SG 700(700Hz)発光装置およびGVM-100分光器を使用し、必要に応じてLVS(60 Hz)あるいはLVS-SG 400(400 Hz)発光装置およびGV-200分光器を用いた。主な分析条件をTable 1に示した。

データ処理は島津製作所製の小型電算機 QT-630 システムによつた。

## 2.2 試料の溶製

転炉で精錬した不純物元素含有量の極めて少ない鋼を50 kg 高周波炉で再溶解し、これに目的元素を単独かつ段階的に添加する。この溶鋼から採取したポンプ試料に

\* 昭和54年10月日本会講演大会にて発表 昭和54年10月8日受付 (Received Oct. 8, 1979)

\*\* 川崎製鉄(株)水島製鉄所 工博 (Mizushima Works, Kawasaki Steel Corp.)

\*\*\* 川崎製鉄(株)水島製鉄所 (Mizushima Works, Kawasaki Steel Corp., 1 Mizushima-kawasaki-dori Kurashiki 712)

Table 1. Instrument and operating parameters.

Spectrometer	Shimadzu vacuum quantorecorder GVM-100 and GV-200		
Computer	Shimadzu QT-630 system		
Discharge type	DC-LVS		
Operating parameters	SG-700	SG-400	LVS
Excitation sources			
Inductance ( $\mu$ H)	40	50	50
Capacitance ( $\mu$ F)	6	6	5
Resistance ( $\Omega$ )	3	4	4
Discharges per (s)	700	400	60
Peak potential (V)	420	420	1 000
Burning (Ar : 15 l/min)			
Preburn time (s)	3	4	20
Integration time(s)	3±0.5	7±1	15±2
Spectral lines (Å)			
C (I) 1930.9, C (I) 1658.1			
P (I) 1774.9, P (I) 1782.9			

金属 Al あるいは金属 Si を数水準で添加して鎮静後、供試料とした。

試料を中央部で切断し、ボトム側断面を発光分光分析後、発光面を切削して化学分析法により、その化学組成を求めた。代表的な試料の組成を Table 2 に示した。

また既報<sup>3)</sup>と同様、Ar-Arc 爐を用いて鉄ベースの二元系、三元系試料を溶製した。

### 2.3 実験方法

介在物の極めて少ない試料および鎮静試料を発光分光分析して、それぞれの発光強度差から目的元素に対する介在物の影響量を求めると共に、I-t 曲線から発光強度の変動を調査した。

分析面における介在物の同定および存在形態は、EPMA あるいは走査型電子顕微鏡により解析した。

### 3. 実験および考察

#### 3.1 C 定量に及ぼす $\text{Al}_2\text{O}_3$ の影響

溶鋼試料を発光分光分析法で定量するとき、C濃度と発光強度との関係は Fig. 1 に示すように、キルド鋼とリムド・セミキルド鋼間において明らかに差がある。したがつて実作業においては通常これらを層別した二つの

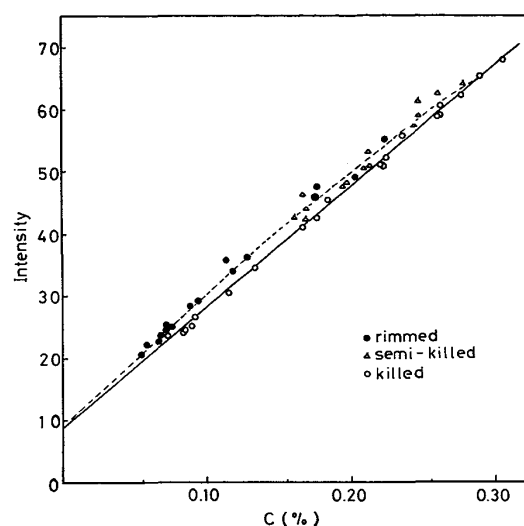


Fig. 1. Calibration curve for carbon.

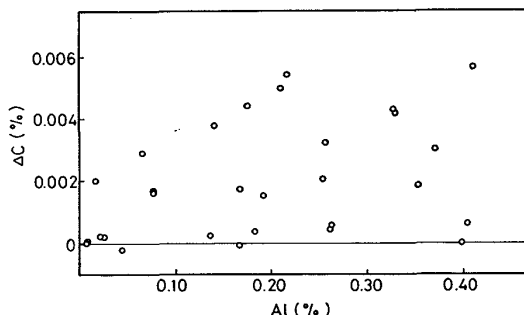


Fig. 2. Effect of aluminium on determination of carbon.

検量線が用いられている。

リムド鋼、セミキルド鋼では試料の鎮静に Al が用いられており、その含有率は 0.1~0.3% である。したがつて発光強度差を生ずる要因として Al の影響が考えられる。

Fig. 2 は C 定量に及ぼす Al の影響を示したもので、この図によれば C 定量値と真値との差  $\Delta C$  は Al を含有するすべての試料について正の値を示し、明らかに Al の影響が認められる。しかし Al 含有率と  $\Delta C$  との相

Table 2. Chemical composition of samples (%).

Series	C	Si	P	Al	$\text{SiO}_2$	$\text{Al}_2\text{O}_3$	O
Fe-C	0.007-1(8)*	<0.01	<0.005	<0.001	<0.001	<0.001	<0.003
Fe-C-Al	0.007-1(8)	<0.01	<0.005	0.001-0.8(8)	<0.001	0.001-0.2(8)	0.003-0.2(8)
Fe-C-Si	0.007-1(7)	0.02-0.6(7)	<0.005	<0.001	0.001-0.08(7)	<0.001	0.003-0.2(7)
Fe-P	<0.007	<0.01	0.005-0.1(8)	<0.001	<0.001	<0.001	<0.003
Fe-P-Al	<0.007	<0.01	0.005-0.1(8)	0.001-0.8(8)	<0.001	0.001-0.2(8)	0.003-0.2(8)

\*: The figures in parentheses indicate the number of levels.

Note: Contents of other elements are below 0.001% for Mo, V and Nb, and below 0.01% for S, Cu, Ni and Cr.

Table 3. Correlation between  $\Delta C$  and concentration of coexisting elements. $(n=200)$ 

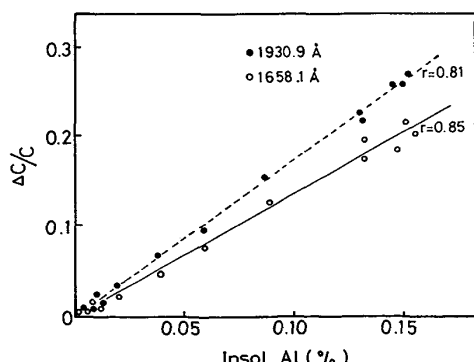
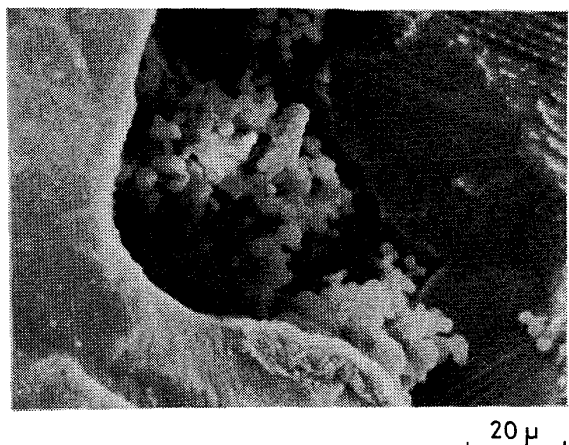
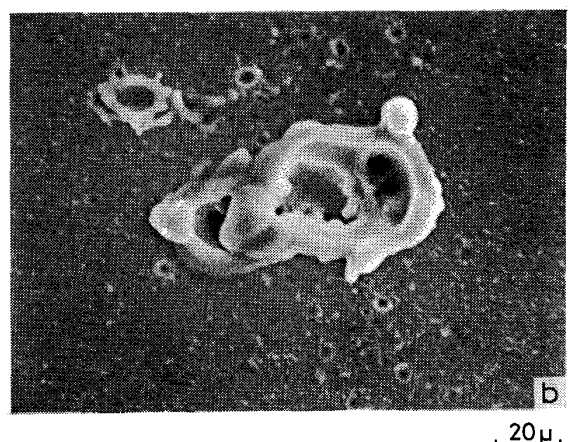
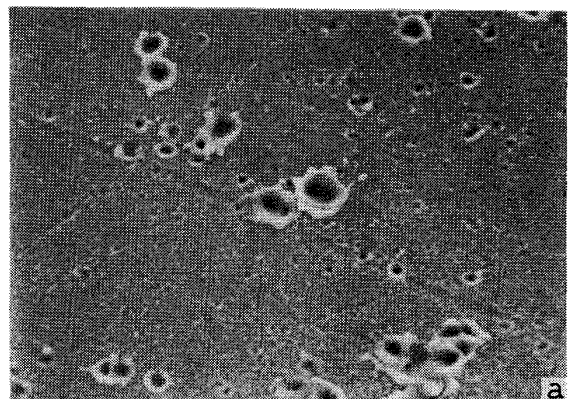
Coexisting elements	Coefficient of correlation (r)	Coefficient of regression
Si	0.486	0.0122
Mn	0.302	0.0035
Al	0.456	0.0198
Ni	0.187	0.0021
Cr	0.205	0.0043
Mo	0.318	0.0018

関係は弱い。この関係は実験炉で溶製し、Al で鎮静した試料でも同じ結果を示している。

Table 3 は実用鋼での他の共存元素である Si, Mn, Ni, Cr, Mo と  $\Delta C$  との相関を求めたもので、これらの元素との相関はあるが、回帰係数が小さいことから、 $\Delta C$  が正の値を示したのはこれらの影響ではない。そこでこの影響は Al の形態によるものと考えられ、さらに  $\text{Al}_2\text{O}_3$  について調べた。

Fig. 3 は Fig. 2 を insol. Al( $\text{Al}_2\text{O}_3$ ) で整理し  $\Delta C$  との関係を求めたものであり、これによると  $\text{Al}_2\text{O}_3$  と  $\Delta C/C$  とは  $\text{Al}_2\text{O}_3$  0.005% 以上で有意な相関が認められた。このことから、従来からいわれていた Cに対する Al の影響<sup>5)</sup> は単に Al 量によるものではなく、厳密には  $\text{Al}_2\text{O}_3$  によるものである。この  $\text{Al}_2\text{O}_3$  の影響は図示したように C の分析線が 1930.9 Å でも 1658.1 Å でも認められ、また異なった分光器 (GV-200 : 焦点距離 2 m) あるいは異なる発光装置 (LVS, LVS-SG 400) でもその傾向は同じである。

Photo. 1 は  $\text{Al}_2\text{O}_3$  の比較的多い (0.01% 以上) 試料を走査電顕で観察したもので、介在物は数  $\mu$  以下の  $\text{Al}_2\text{O}_3$  が集合した  $\text{Al}_2\text{O}_3$  クラスターを形成しており、その化合形態が  $\text{Al}_2\text{O}_3$  であることは EPMA で同定した。この試料を 20~30 回放電し、その放電スポットを

Fig. 3. Relation between insoluble aluminium and  $\Delta C/C$ .Photo. 1. Scanning electron images of  $\text{Al}_2\text{O}_3$ . Etched in a 5% solution of  $\text{Br}_2$  in  $\text{C}_2\text{H}_5\text{OH}$ .Photo. 2. Discharge spots by electron microscope.  
a)  $\text{Al}_2\text{O}_3 : 0.001\%$       b)  $\text{Al}_2\text{O}_3 : 0.125\%$ 

観察したところ、Photo. 2 にみられるように  $\text{Al}_2\text{O}_3$  の少ない試料では放電スポットが多数認められるのに対し、 $\text{Al}_2\text{O}_3$  の多い試料では数ヶ所に放電が集中してスポットも大きく、 $\text{Al}_2\text{O}_3$  クラスターへの放電も多い。

Fig. 4 は同じ試料の発光分光分析による C の I-t 曲線であり、これに見られるように  $\text{Al}_2\text{O}_3$  の多い試料で

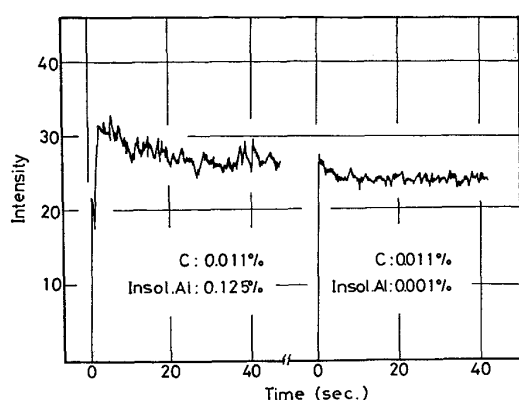


Fig. 4. Intensity-time curve of carbon.  
(in the presence of  $\text{Al}_2\text{O}_3$ )

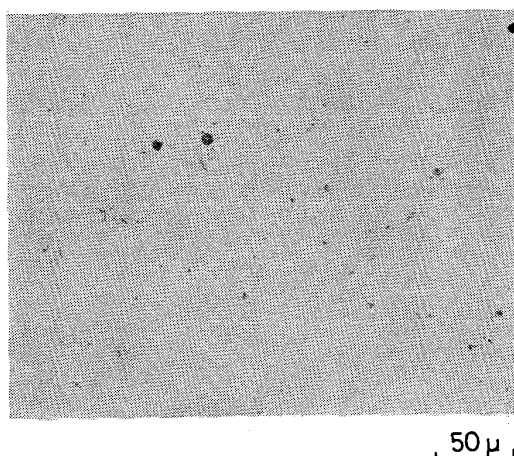


Photo. 3. Optical micrograph of the 0.53% Si steel.

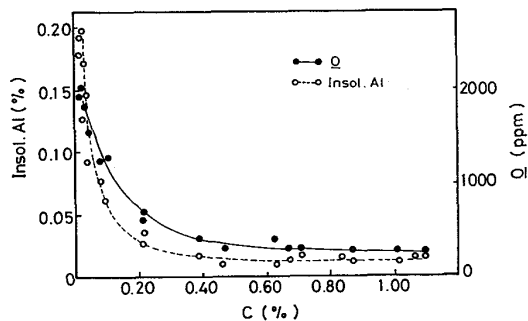


Fig. 5. Relation between carbon and insoluble aluminium or oxygen.

は異常発光の発生頻度が多く、発光強度も高い。

これらのことから、Cに対する $\text{Al}_2\text{O}_3$ の影響は介在物による異常放電に起因していることが明白である。

先に図示したFig. 1において、Cがほぼ0.25%以上になると、リムド、セミキルド、キルド鋼間に発光強度差は認められない。

これは試料中のC濃度とO量あるいは $\text{Al}_2\text{O}_3$ 量との間にはFig. 5に示す関係があつて、C濃度が低いと $\text{Al}_2\text{O}_3$ の量が増加することによるものであり、先に述べた結果と一致する。なお炭素と酸素の関係は既に言われている溶鉄中のCとOの関係<sup>6)</sup>とも一致している。

また $\Delta C$ が正の影響を受けるのは、主としてAlで鎮静した溶鋼試料で $\text{Al}_2\text{O}_3$ 量が比較的多く、 $\text{Al}_2\text{O}_3$ クラスターを生成するもの、すなわち吹止、リムド鋼、セミキルド鋼の溶鋼試料に限定される。したがつてAlキルド鋼のように $\text{Al}_2\text{O}_3$ の分布が一様で小さく、かつ $\text{Al}_2\text{O}_3$ 量も低い鋼種では影響を受けにくい。

### 3.2 発光分光分析における介在物の挙動

既に述べたようにCに対するAlの影響は $\text{Al}_2\text{O}_3$ によるものであり、さらにこれは $\text{Al}_2\text{O}_3$ 介在物の存在形態に依存している。したがつて $\text{Al}_2\text{O}_3$ 以外の介在物で

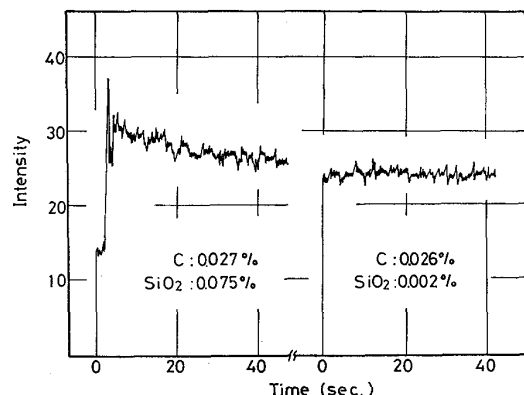


Fig. 6. Intensity-time curve of carbon.  
(in the presence of  $\text{SiO}_2$ )

も起こり得ることが類推できる。

そこで高周波炉での溶鋼試料をSiで鎮静し、Cに対する影響を調べた。 $\text{SiO}_2$ の存在形態はPhoto. 3に示すように $\text{Al}_2\text{O}_3$ のそれと異なり、微細で分散した状態となつてゐるためか、明確な相関は得られなかつた。しかしFig. 6のI-t曲線で明らかなように $\text{SiO}_2$ の $\Delta C$ に対する挙動は、 $\text{SiO}_2$ の多い試料では $\text{Al}_2\text{O}_3$ の場合と同様に異常発光および発光強度の増加が認められた。

さらにPに対する $\text{Al}_2\text{O}_3$ の影響についてもFig. 7のI-t曲線にみられるように、Cに対してと同様の挙動が認められた。

以上のことから、発光分光分析法において介在物が共存すると、その組成にかかわらず、形態により異常発光の発生頻度が多くなり、ある特定の元素に対して発光強度を増加させる。従来から言われていたAlに対する $\text{Al}_2\text{O}_3$ の影響もその一例である。

この原因は試料中に存在する介在物の形態により、介在物とマトリックスとの境界に選択放電が行われ、異常

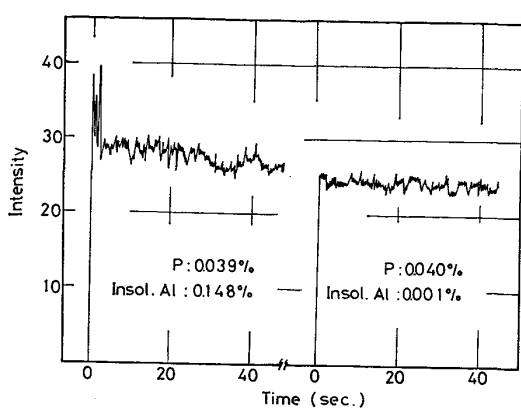


Fig. 7. Intensity curve of phosphorus.  
(in the presence of  $\text{Al}_2\text{O}_3$ )

発光強度を示すことによる。この現象は試料電極に電場を生じた際、介在物と地金との間に分極が起こり、荷電蓄積されて誘電率が高くなるためのものと考えられる。

これまでに考察したことからわかるように、介在物の影響を定量的に補正することは極めて難かしい。またこの影響に対して従来から言われている予備放電時間の延長<sup>1)4)</sup>は有効な手段ではあるが、これによつても検量線の一元化は不可能であり、通常行われているように Al 鎮静の有無による層別検量線が必要となる。

#### 4. 結 言

発光分光分析における非金属介在物の影響について考

察し、次の知見を得た。

- 1) 従来言われていた C に対する Al の影響は  $\text{Al}_2\text{O}_3$  介在物に起因するものである。
- 2) さらに  $\text{Al}_2\text{O}_3$  の影響は  $\text{Al}_2\text{O}_3$  という組成に関係なく、介在物の存在形態（例えば  $\text{Al}_2\text{O}_3$  クラスター）によるものであり、これは選択放電に起因する異常発光現象によるものである。
- 3) これの確証として C に対する  $\text{SiO}_2$ , P に対する  $\text{Al}_2\text{O}_3$  の影響についても調べたが、C に対する  $\text{Al}_2\text{O}_3$  と同じ挙動を示した。
- 4) これらの介在物による影響を定量的に補正し、検量線を一元化することは極めて難しく、これを解消するには層別検量線によらざるを得ない。

#### 文 献

- 1) 成田貴一、松村哲夫、徳田利幸、諸岡鍊平、野々村英造：鉄と鋼，60 (1974) 13, p. 1879
- 2) 小野寺政昭、佐伯正夫、西坂孝一、坂田忠義、小野準一、福井勲、今村直樹：鉄と鋼，60 (1974) 13, p. 2002
- 3) 遠藤芳秀、杉原孝志、斎藤啓二、松村泰治：鉄と鋼，65 (1979) 12, p. 1774
- 4) 萩原卓、檜木兼俊、田中清之：分光研究，15 (1966) 1, p. 1
- 5) JIS G 1253 (1976)
- 6) Physical Chemistry of Steelmaking Committee: Basic Open Hearth Steelmaking (1951), p. 651 [The American Institute of Mining and Metallurgical Engineers]